

ТЕХНОЛОГІЯ ЧАСТОТНО-РЕЗОНАНСНОЇ ОБРОБКИ СУПУТНИКОВИХ ЗНІМКІВ ТА ФОТОЗНІМКІВ: ДОДАТКОВІ СВІДОЦТВА НА КОРИСТЬ ВУЛКАНІЧНОЇ МОДЕЛІ ФОРМУВАННЯ КРАТЕРА ВРЕДЕФОРТ

I.М. Корчагін¹, М.А. Якимчук²

¹Інститут геофізики НАНУ ім. С.І. Субботіна, Київ, Україна

²Інститут прикладних проблем екології, геофізики і геохімії, Київ, Україна

Вступ. Частотно-резонансна технологія обробки супутникових знімків та фотознімків [2] неодноразово використовувалась для вивчення глибинної будови вулканічних комплексів різного типу та імпактних структур [4-6]. В тезах представлені результати додаткових досліджень з використанням мобільних прямопошукових методів в межах крупного кратера Вредефорт в ПАР. Доцільність підготовки матеріалів обумовлена опублікованою [7], в якій представлена математична модель крупної імпактної події в районі розташування кратера.

Методи досліджень. Експериментальні дослідження рекогносцируального та детального характеру проводяться з використанням мало-витратної прямопошукової технології, що включає модифіковані методи частотно-резонансної обробки та декодування супутникових знімків та фотознімків, вертикального електрорезонансного зондування (сканування) розрізу та методики інтегральної оцінки перспектив нафтогазоносності (рудоносності) великих пошукових блоків та локальних ділянок [2]. окрім компоненти використовуваної технології розроблені на принципах «речевинної» парадигми геофізичних досліджень, сутність якої полягає в пошуку конкретної (шуканої в кожному окремому випадку) речовини. В основі розроблених методів лежать виявлені Миколою Тесла у 1899 р. стоячі електричні хвилі у глибинних горизонтах Землі. У модифікованих версіях методів частотно-резонансної обробки супутникових знімків та фотознімків (сканування) розрізу використовуються існуючі бази (набори, колекції) осадових, метаморфічних та магматичних порід [1], мінералів та хімічних елементів. Особливості та можливості використання осадових методів, а також методика проведення вимірювань описані більш детально у [2-6].

Результати додаткових досліджень у районі кратера Вредефорт. У науковому повідомленні [8] обговорюються матеріали досліджень, проведених у районі розташування великого кільцевої структури Вредефорт (ПАР) та наводиться фотознімок виявленої там породи, яка могла бути сформована (або перетворена) під час великої імпактної події. У зв'язку з цим у цьому регіоні з використанням прямопошукових методів проведено додаткові дослідження рекогносцируального характеру з метою вивчення глибинної будови. При проведенні інструментальних вимірювань у районі розташування структури використовувалися зразок породи з кратера (рис. 1), супутниковий знімок кратера (рис. 3а) та аерознімки локальних ділянок проведення геофізичних робіт у межах кратера (рис. 3б, в) [9].

Зазначимо спочатку, що при проведенні рекогносцируальних досліджень у районі розташування структури Вредефорт в 2020 р. [4] на цій території зафіксовано відгуки на частотах 1-ої (граніти), 2, 3, 5-ої груп магматичних порід. Інструментальними вимірами встановлено наявність гранітних вулканів 3 коренями на глибинах 470 км та 996 км. Верхній край гранітів визначено на глибині 16 м від поверхні. З поверхні заразка породи (рис. 1) спільно фіксувалися з нижньої частини розрізу на глибинах 50, 99, 218, 480, 995 та 996 км.

Відгуки від гранітів та зразка породи (рис. 3а) зареєстровані сигналами від 1-ї (граніти), 2, 3 та 5-ї груп магматичних порід. Під час частотно-резонансної обробки супутникового знімка кратера (рис. 3б) зареєстровані сигналі від 1-ї (граніти), 2, 3 та 5-ї груп магматичних порід. На цих же глибинах зареєстровані також сигнали тільки від зразка породи (рис. 1).

При обробці аерознімка локальної ділянки на рис. 3 зареєстровані сигнали від 1 (граніти), 2, 3 та 5-ої груп магматичних порід. Фіксацією відгуків на різних глибинах корінь гранітного вулкана зафіксовано на глибині 996 км. Відгуки від зразка породи отримані на глибині 995 км, на поверхні 997 км сигналі вже були відсутні. На пій локальній ділянці з поверхні зареєстровані сигнали на частотах платини, золота та ртуті, від срібла відгуків не отримані.

На другій локальній ділянці (рис. 3б) також зареєстровані сигнали від 1, 2, 3 і 5-ої груп магматичних порід, корінь гранітного вулкана визначено на глибині 996 км, а відгуки від зразка породи (рис. 1) отримані з нижньої частини розрізу на глибинах 50, 99, 218, 480, 995 км.

З поверхні на ділянці зафіксовано відгуки від платини, золота та ртуті. При скануванні розрізу з поверхні (0 м), крок 1 м, відгуки на частотах золота зареєстровані з інтервалу 1750-1840 м (глибше сканування не проводилося).

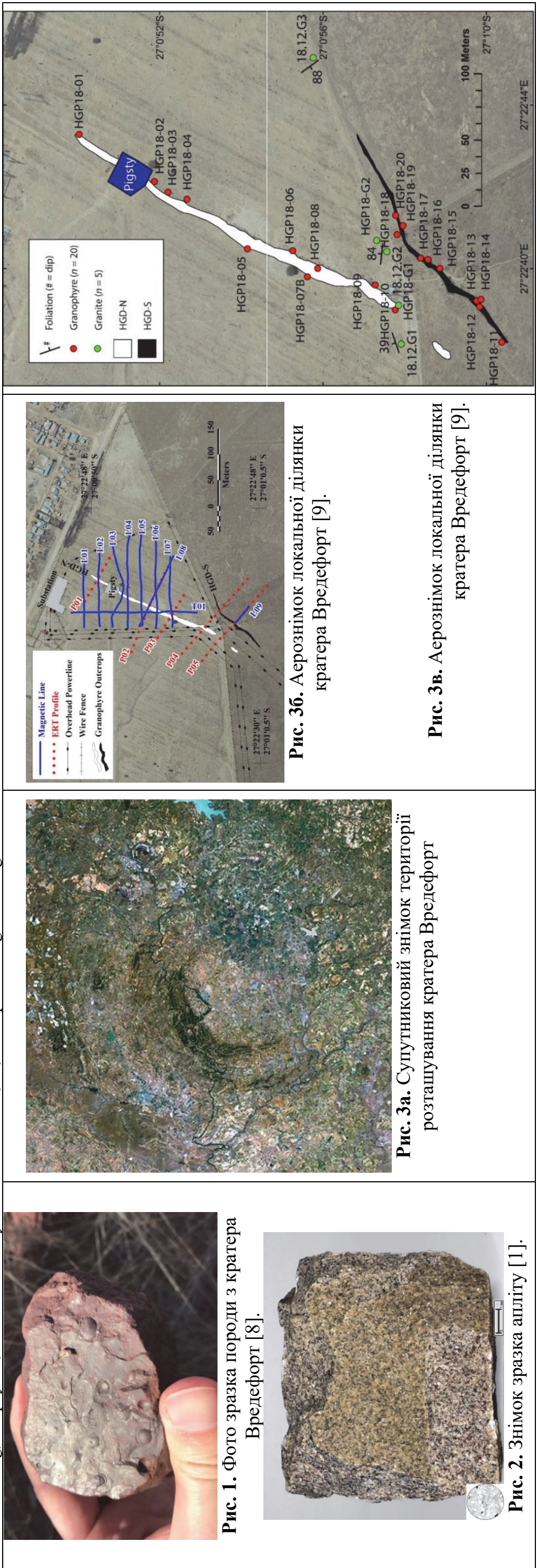
На глибині 1745 м відгуки від золота із верхньої частини розрізу не отримано, а від платини зафіксовано. Сигнали від платини отримані також з верхньої частини розрізу на поверхнях 700 м, 245 м, 200 м і 100 м. При скануванні розрізу з поверхні (0 м), крок 1 см, відгуки від платини від проведеного тільки до 20 м).

При зіставленні зразка породи (рис. 1) з окремими зразками із використовуваної під час проведення вимірювань, колекції гранітів [1] встановлено його подібність лише з одним зразком – аплітом (рис. 2).

Заключення. Отримані результати показують, що структура Вредефорт розташована в контурах гранітного вулкана (старого і молодого) з коренями на глибинах 470 км і 996 км. Інструментальними вимірами підтверджено перспективність гранітних вулканічних комплексів на виявлення покладів золота, платини та інших рудних корисних копалин. Зазначимо також, що на ділянках розташування 28 кільцевих структур в північній і південній Америці, Європі, Азії, Африці та Австралії частотно-резонансною обробкою знімків встановлено наявність вулканічних комплексів, заповнених сіллю (один), осадовими породами 1-6 груп (один), гранітами (чотири), базальтами (п'ять), ультрамафічними породами (дванадцять) і кімберлітами (п'ять). В цілому, виявлено вулкани шести типів із встановлених численними експериментальними дослідженнями 10 типів. В межах всіх 4-х виявлених гранітних вулканів з коренями на глибині 996 км зареєстровані відгуки на частотах золота графіту, ртуті та коеєту. На площі розташування одного гранітного вулкана зареєстровані відгуки на частотах нафти, конденсату, газу та метаноокислючих бактерій.

Література

1. «Электронный петрографический спра沃чик-определитель магматических, метаморфических и осадочных горных пород» для оперативного использования при создании Госгеолкарт1000/3 и 200/2 для территории Российской Федерации. Санкт-Петербург, 2015. <http://rockref.vsegei.ru/petro/>
 2. Якимчук Н.А., Корчагин И.Н., Бахмутов В.Г., Соловьев В.Д. Геофизические исследования в Украинской морской антарктической экспедиции 2018 г.: мобильная измерительная аппаратура, инновационные прямопоисковые методы, новые результаты. Геоинформатика. 2019. № 1. С. 5-27.
 3. Якимчук Н.А., Корчагин И.Н. Технология частотно-резонансной обработки данных ДЗЗ: результаты практической апробации при поисках полезных ископаемых в различных регионах земного шара. Часть I. Геоинформатика. 2019. № 3. С. 29-51. Часть II. Геоинформатика. 2019. № 4. С. 30-58. Часть III. Геоинформатика. 2020. № 1. С. 19-41, Часть IV. Геоинформатика. 2020. № 3. С. 29-62, Часть V. Геоинформатика. 2021. № 3-4. С. 51-88.
 4. Якимчук Н.А., Корчагин И.Н., Янушкевич К.П. Апробация методов частотно-резонансной обработки спутниковых и фотоснимков на геологической структуре «Кратер Чиксулуб». Геоинформатика. 2020. № 2. С. 39-49.
 5. Якимчук Н.А., Корчагин И.Н., Янушкевич К.П. Особенности глубинного строения площадей расположения колышевых и импактных структур по результатам частотно-резонансной обработки спутниковых снимков. Геоинформатика. 2021. № 1-2. С. 43-63.
 6. Якимчук М.А., Корчагин И.М. Особливості глибинної будови території Гренландії в районі розташування структури Maniitoq. Допов. Нац. акад. наук України. 2021. № 4. С. 61—69. <https://doi.org/10.15407/dopovid2021.04.061>.
 7. Allen, N. H., Nakajima, M., Wunnemann, K., Helhoski, S., & Trail, D. (2022). A revision of the formation conditions of the Vredefort crater. *Journal of Geophysical Research: Planets*, 127, e2022JE007186. <https://doi.org/10.1029/2022JE007186>
 8. Komei, K. (2021), Ejecta discovered near site of ancient meteorite impact, Eos, 102, <https://doi.org/10.1029/2021EO161880>. Published on 17 August 2021. <https://eos.org/articles/ejecta-discovered-near-site-of-ancient-meteorite-impac>
 9. Martin D. Clark, Elizaveta Kovaleva, Matthew S. Huber, Francois Fourie and Chris Harris. Post-Impact Faulting of the Holfontein Granophyre Dike of the Vredefort Impact Structure, South Africa, Inferred from Remote Sensing, Geophysics, and Geochemistry. *Geosciences* 2021, 11, 96. <https://doi.org/10.3390/geosciences11020096>



An aerial photograph of the Vredefort crater area. The image shows a large, roughly circular depression in the landscape, surrounded by a distinct ring of vegetation and terrain features. The terrain appears rugged and varied, with different shades of green and brown indicating various types of vegetation and geological formations.

крагера Вредефорт [9].



Рис. 2. Знімок зразка апнії [1].